24344444 002 ФЕЛИБИНЬНИЕ ЦИЦАБИНЕ ВЫДЕНЦАБИ ИЗВЕСТИЯ АКАДЕМИН НАУК АРМЯНСКОЙ ССР

White they are

XL, Nº 4, 1987

Механика

УДК 539.3

УСТОЙЧИВОСТЬ ВРАЩАЮЩЕЙСЯ СВЕРХПРОВОДЯЩЕЙ СФЕРИЧЕСКОЙ ОБОЛОЧКИ В МАГНИТНОМ ПОЛЕ

МКРТЧЯН П. А.

В работе выведены уравнения возмушенного движения вращающейся сверхпроводящей сферической оболочки в стационарном неоднородном магнитном поле. На основе этих уравнений исследуется поведение вращающейся оболочки в начальном однородном магнитном поле. Установлена нозможность потери устойчивости невозмущенного состояния и получена формула для определения критического значения напряженности магнитного поля, при котором оболочка теряет устойчивость. Аналогичная задача устойчивости вращающейся ферромагнитной цилиндрической оболочки в однородном магнитном поле рассмотрена в работе [1]

1. Пусть замкнутая сферическая оболочка постоянной толщины 2h и радиуса срединной поверхности R вращается вокруг одного из своих диаметрон с угловой скоростью ω и находится в постоянном во времени неоднородном магнитном поле H_0 . Считается, что оболочка наготовлена из упругого изотропного материала и покрыта тонким слоем сверхпроводящего сплава. Упругие свойства материала оболочки характеризуются модулем упругости E коэффициентом Пуассона v и плотностью ϕ . Электромагнитные свойства среды, окружающей оболочку, эквивалентны свойствам вакуума. Ортогональная система координат (α_{11} α_{22} α_{33}), вращающаяся вместе с оболочкой, выбирается так, что срединная поверхность оболочки отнесена к сферическим координатам α_{31} α_{22} (α_{11} —полярный угол, — азимутальный), а α_{31} направлена по пормали к срединной поверхности.

В отношении гонкой оболочки считается справелливой гипотеза недеформируемых нормалей. Принимается также, что условая скорость вращения о такая, что выполняется условие квазистационариноств окас (с—скорость света).

Известно, что при помещении сверхпроводящего тела в магнитное поле в его тонком поверхностном слое появляются экранирующие токи, препятствующие процикновению магнитного поля во внутрь тела Выталкивание магнитного поля приводит к изменению напряженности магнитного поля в области вне тела Это изменение является результатом наложения на поле и магнитного поля и создаваемого экра-

нирующими токами. Поэтому невозмущенное магнитное поле $H = -H_0 + H^0$ определяется из решения следующей задачи магнитостатики во внешней области [2]:

rot
$$\vec{H} = 0$$
, div $\vec{H} = 0$; $\vec{n}_0 \cdot \vec{H}|_{s} = 0$, $\lim_{r \to \infty} \vec{H} = \vec{H}_0$ (1.1)

где n_0 —единичный вектор внешней нормали к недеформированной поверхности S тела, r—радиус-вектор рассматриваемой точки.

Вследствие того, что магнитное поле не проникает в область, занимаемую оболочкой, на поверхности оболочки компоненты тензора напряжений Максвелла претерпевают разрыв. Этим разрывом обусловлено появление магнитного давления P_{01} определяемого формулой [2]

$$\vec{P}_0 = -\frac{H^2}{8\pi} \cdot \vec{n}_0 \tag{1.2}$$

Под действием нагрузки $\overrightarrow{P_0}$ в оболочке устанавливается начальное невозмущенное состояние, характеризующееся вектором перемещения \overrightarrow{u} и тензором упругих напряжений $\widehat{\sigma_0}$. Характеристики невозмущенного состояния определяются из следующих линейных уравнений равновесия и граничных условий на поверхности оболочки:

$$\operatorname{div} \hat{s_0} = R_0 \tag{1.3}$$

$$n_0 \cdot \sigma_0 = \begin{pmatrix} P_0 & \text{при} & \sigma_3 = h \\ 0 & \text{при} & \sigma_3 = -h \end{pmatrix}$$
 (1.4)

где $\mathcal{R}_0 = -9\omega \times (\omega \times r)$ -- центробежная сила невозмущенного состояния,

Характеристики возмущенного состояния $(u_6+u, s_0+s, H+h)$ должны удовлетворять нелинейным урависиям и граничным условиям на деформированной поверхности оболочки. Принимая возмущения малыми, эти урависиям и граничные условия, аналогично работе [3, 4], линеаризуются. В результате получаются следующие линейные уравнения возмущенного состояния:

в области, занимаемой оболочкой

$$\operatorname{div}\left[\hat{\sigma} + \hat{\sigma}_{0}(\nabla u)^{*}\right] - \sigma \frac{\sigma^{2}u}{\sigma r^{2}} = \vec{R}$$
(1.5)

в области ($a_3 > h$) вне тела оболочки

$$roth=0, \quad div h=0 \tag{1.6}$$

THE $R = -\rho\omega \times \{\omega \times [r(\nabla u)^2 - u(\nabla r)^2]\}.$

Решения уравнений (1.4) и (1.5) связаны следующими линеаризованными условиями на поверхностях $a_1 = \pm h$ оболочки:

$$\hat{\sigma} \cdot \hat{n}_0 = \begin{cases} P & \text{при } x_3 = h \\ 0 & \text{при } \alpha_3 = -h \end{cases}$$
(1.7)

$$n_0[h + \hat{H}(\nabla u)^* + u(\nabla H)] = 0$$
 (1.8)

Здесь

$$\hat{s} = \frac{E}{2(1+v)} \left[\frac{2v}{1-2v} (\text{div}\vec{u}) \hat{E} + \nabla u - (\nabla u)^* \right]$$
 (1.9)

$$P = n_0 \cdot T, \quad T_{tk} = \frac{1}{4\pi} (H_k h_t + h_k H_t) - \frac{1}{4\pi} (\vec{h} \cdot \vec{H})$$
 (1.10)

где E—единичный тензор, v—оператор Гамильтона, $(vu)^*$ —транспокированный тензор vu; T—тензор напряжений Максвелла возмущенного состояния, —символ Кронекера.

Принимая гипотезу Кирхгофа-Лява и осредняя уравнения (1.5) по толщине оболочки, с учетом поверхностных условий (1.7)—(1.8) получим двумерную систему разрешающих дифференциальных уравнений магнитоупругости вращающейся сферической оболочки относительно перемещений срединной поверхности и и и. В эти уравнения входят неизвестные граничные значения компонент индуцированного магнит-

ного поля h, которые определяются из уравнений (1.6) с учетом (1.8) и условия затухания возмущений на бесконечности [4]. В результате получаем замкнутую двумерную систему интегро-дифференциальных уравнений относительно функций u, v, w. Указанная система уравнений в случае, когда оболочка вращается вокруг оси oz (фиг. 1) с постоянной угловой скоростью ω , имеет следующий вид:

$$\frac{1}{A_{1}} \left[\frac{\partial b}{\partial z_{1}} - \frac{h^{2}}{3R^{3}} \frac{\partial}{\partial z_{1}} (\Delta + 2)w \right] + \frac{1 - v}{2} \left(\frac{u}{R} - \frac{1}{A} \frac{\partial w}{\partial z_{1}} \right) + \frac{1 - v^{2}}{3\pi E h} \frac{H_{1}^{*}}{A_{1}A_{2}} \left[\frac{\partial}{\partial z_{1}} (A_{2}H_{1}^{*}w) + \frac{\partial}{\partial z_{2}} (A_{1}H_{2}^{*}w) \right] - \frac{\rho(1 - v^{2})}{E} \frac{\partial^{3}u}{\partial t^{2}} - \frac{\rho(1 - v^{2})w^{3}}{E} \left[\frac{1}{A_{1}} \left(\frac{\partial A_{2}}{\partial z_{1}} \right)^{2} \frac{\partial w}{\partial z_{1}} + \frac{A_{1}}{A_{1}} \left(\frac{\partial A_{2}}{\partial z_{1}} \right)^{2} w \right] = 0$$

$$\frac{1}{A_{1}} \left[\frac{\partial b}{\partial z_{1}} - \frac{h^{2}}{3R^{3}} \frac{\partial}{\partial z_{1}} (\Delta + 2)w^{2} \right] + \frac{1 - v}{R} \left(\frac{v}{R} - \frac{1}{A_{2}} \frac{\partial w}{\partial z_{2}} \right) - \frac{\rho(1 - v^{2})}{E} \frac{\partial^{2}v}{\partial t^{2}} + \frac{1 - v^{3}}{E} \frac{\partial^{2}v}{\partial z_{2}} + \frac{1 - v^{3}}{R^{3}} \left(\frac{\partial}{\partial z_{1}} (A_{2}H_{1}w) + \frac{\partial}{\partial z_{1}} (A_{1}H_{2}w) \right) = \frac{\rho(1 - v^{2})w^{2}}{E} \frac{A_{1}}{A_{2}} \frac{\partial w}{\partial z_{2}} + \frac{1 - v^{3}}{R^{3}} \frac{\partial^{2}v}{\partial z_{2}} \left(\frac{h^{2}}{3R^{3}} \Delta - \frac{1 + v}{R} \right) \theta - \frac{h^{2}}{3R^{3}} (\Delta + 1 - v) (\Delta + 2)w - \frac{\rho(1 - v^{2})}{E} \frac{\partial^{2}w}{\partial z_{1}} + \frac{1 - v^{3}}{R^{3}} \frac{\partial^{2}v}{\partial z_{2}} + \frac{1 - v^{3}}{R^{3}} \left(\frac{1}{A_{1}} \frac{\partial^{2}w}{\partial z_{2}} + \frac{1}{A_{1}^{2}} \frac{\partial A_{2}}{\partial z_{1}} \frac{\partial w}{\partial z_{1}} \right) + \frac{1 - v^{3}}{2Eh} \frac{T_{1}^{*}}{R} \frac{\partial^{2}w}{\partial z_{1}} + \frac{T_{1}^{*}}{A_{2}} \left(\frac{1}{A_{1}} \frac{\partial^{2}w}{\partial z_{2}} + \frac{1}{A_{1}^{2}} \frac{\partial A_{2}}{\partial z_{1}} \frac{\partial w}{\partial z_{1}} \right) + \frac{1 - v^{3}}{2Eh} \frac{T_{1}^{*}}{R} \frac{\partial^{2}w}{\partial z_{1}} + \frac{T_{1}^{*}}{A_{2}} \frac{\partial^{2}w}{\partial z_{1}} + \frac{1 - v^{3}}{R^{3}} \frac{\partial^{2}w}{\partial z_{1}} + \frac{1 - v^{3}$$

$$+ \frac{2S^{0}}{A_{1}A_{2}} \left(\frac{\partial^{2}w}{\partial x_{1}\partial x_{2}} - \frac{1}{A_{2}} \frac{\partial A}{\partial \alpha_{1}} \frac{\partial w}{\partial \alpha_{2}} \right) + \frac{1}{4-} \left(\frac{H_{1}}{A_{1}} \frac{\partial F}{\partial \alpha_{1}} - \frac{H_{2}^{2}}{A_{2}} \frac{\partial F}{\partial \alpha_{2}} \right) + \frac{2(1-v^{2})w^{2}}{E} \left(\frac{A_{2}}{A_{1}} \frac{\partial A}{\partial \alpha_{1}} \frac{\partial w}{\partial \alpha_{2}} - \frac{A_{2}^{2}}{A_{1}^{2}} w \right) = 0$$

Здесь индексом «+» отмечены значения соответствующих величин на поверхности оболочки $a_3 = h$,

$$F = \frac{R}{4\pi} \int_{0}^{2\pi} \int_{0}^{\pi} \left[\frac{2}{r_0} - \ln\left(1 + \frac{2}{r_0}\right) \right] h_3^{\dagger}(\xi, \eta, t) \sin \xi d\xi d\eta$$

$$h_3^{\dagger} = \frac{1}{A_1 A_2} \left[\frac{\partial}{\partial x_1} (A_2 H_1^{\dagger} w) + \frac{\partial}{\partial x_2} (A_1 H_2^{\dagger} w) \right]$$

$$\theta = \frac{1}{A_1 A_2} \left[\frac{\partial}{\partial x_1} (A_2 u) + \frac{\partial}{\partial x_2} (A_1 v) \right] + \frac{2w}{R}$$

$$\Delta = \frac{R^2}{A_1 A_2} \left[\frac{\partial}{\partial x_1} \left(\frac{A_2}{A_1} \frac{\partial}{\partial x_1} \right) + \frac{\partial}{\partial x_2} \left(\frac{A_1}{A_2} \frac{\partial}{\partial x_2} \right) \right], \quad A_1 = R, \quad A_2 = R \sin x_1$$

$$r_0^2 = 2(1 - \cos \theta_0), \quad \cos \theta_0 = \cos \xi \cos x_1 - \sin \xi \sin x_1 \cos (\eta - x_2)$$

$$(1.12)$$

 T_1 , T_2^0 , S^0 —усилия, характеризующие начальное невозмущенное состояние оболочки, которые определяем, решая задачу (1.3)—(1.4).

Решения приведенных уравнений должны удовлетворять условиям испрерывности и однозначности на сфере.

2. На основе полученной системы рассмотрим задачу статической устойчивости сферической оболочки, которая вращается вокруг оси ог с постоянной угловой скоростью ω и находится в однородном магнитном поле с вектором напряженности H_{α}

$$H_0 = H_0(\sin z_1 n_1 - \cos z_1 n_2), \quad H_0 = \text{const}$$
 (2.1)

где n_i —единичные векторы по направлениям n_i (i=1, 2, 3)-

Невозмущенное магнитное поле определяется из решения задачи (1.1) и имеет вид

$$\vec{H} = H_0 \left\{ \left[1 + \frac{1}{2} \left(\frac{R+h}{R+\alpha_3} \right)^3 \right] \sin \alpha_1 \vec{n}_1 - \left[1 - \left(\frac{R+h}{R+\alpha_3} \right)^3 \right] \cos \alpha_1 \quad \vec{n}_3 \right\} \quad (2.2)$$

В силу (1.2)—(1.4) и (2.2) для усилий начального невозмущенного безмоментного состояния имеем

$$T_1^0 = -\frac{q_0 R}{4} \sin^2 \alpha_1$$
, $T^0 = \left(2\phi h R^2 \omega^2 - \frac{3q_0 R}{4}\right) \sin^2 \alpha_1$, $S^0 = 0$ (2.3)

где $q_0 = 9H_0/32\pi$.

Подставляя (2.2), (2.3) в систему (1.11) и исключая неизвестные и и v, рассматриваемую задачу устойчивости сводим к исследованию

следующего интегро-диффереициального уравнения относительно нормального перемещения:

$$\begin{split} \left[\delta^{2}(\Delta+1)^{2}+1 \right] & (\Delta+2)w + \frac{q_{0}R}{[Eh]} \left\{ (\Delta+1-\tau) \left[\frac{3A_{2}^{2}}{8A_{1}^{2}} \Delta w - \frac{A_{2}^{2}}{4A_{1}^{2}} \frac{\partial^{2}w}{\partial \alpha_{1}^{2}} - \frac{A_{2}}{A_{1}} \frac{\partial F_{1}}{\partial \alpha_{1}} \right] + \\ & + \left(\frac{h^{2}}{3R^{2}} \Delta - 1 - \tau \right) \left[\frac{5A_{2}}{A_{1}^{2}} \frac{\partial A_{2}}{\partial \alpha_{1}} \frac{\partial w}{\partial \alpha_{1}} + \frac{A_{2}^{2}}{A_{1}^{2}} \frac{\partial^{2}w}{\partial \alpha_{1}^{2}} + 4 \left(1 - \frac{3A_{2}^{2}}{2A_{1}^{2}} \right) w \right] \right] - \\ & - \frac{\rho w^{2}R^{2}}{E} \left\{ (\Delta+1-\tau) \left(\frac{\partial^{2}w}{\partial \alpha_{2}^{2}} + \frac{2A_{2}}{A_{1}^{2}} \frac{\partial A_{2}}{\partial \alpha_{1}} \frac{\partial w}{\partial \alpha_{1}} - \frac{A_{2}^{2}}{A_{1}^{2}} w \right) - \left(\frac{h^{2}}{3R^{2}} \Delta - 1 - \right) \left[\Delta w - \frac{\partial}{\partial \alpha_{1}} \left(\frac{A_{2}^{2}}{A_{1}^{2}} \frac{\partial w}{\partial \alpha_{1}} \right) - \left(2 - \frac{3A_{2}^{2}}{A_{1}^{2}} \right) w - \frac{2A_{2}}{A_{1}^{2}} \frac{\partial A_{2}}{\partial \alpha_{1}} \frac{\partial w}{\partial \alpha_{1}} \right] \right\} = 0 \quad (2.4) \end{split}$$

где
$$\delta^2 = h^2/3(1-v^2)R^2$$
, $F_1 = \frac{1}{4\pi} \int_0^{2\pi} \int_0^{\pi} \left[\frac{2}{r_0} - \ln\left(1 + \frac{2}{r_0}\right) \right] \frac{\partial}{\partial \xi} \left[w(\xi, \eta) \sin^2 \xi \right] d\xi d\eta$

Решение уравнения (2.4) представим в виде разложения

$$\boldsymbol{w} = \left(\sum_{n=1}^{\infty} w_n P_{nk}(\cos z_1)\right) \cos k z_2, \quad (k \leq n, \quad i = 2, 3, \dots)$$
 (2.5)

где w_n —неизвестные коэффиционты, $P_{nk}(x)$ —присоединенные функции Лежандра.

Подставляя (2.5) в уравнение (2.4) и используя обычный процесс ортогонализации, после некоторых преобразований приходим к следующей бесконечной системе алгебранческих уравнений относительно

$$\Omega_m^2 w_m - \sum_{n=1}^n b_n^{(k)} w_n = 0, \quad (m=i, i+1, i+2, \dots, k \le n)$$
 (2.6)

где

$$\Omega_{m}^{2} = \frac{E}{\rho R^{2}} \left(\lambda_{m} - 2 \right) \frac{1 + e^{2} (\lambda_{m} - 1)^{2}}{\lambda_{m} - 1 - \epsilon}, \quad \lambda_{m} = m(m - 1)$$

$$b_{mn}^{(R)} = \frac{\lambda_{n} - 1 + \epsilon}{\lambda_{m} - 1 + \epsilon} \left[\frac{q_{0}}{2Rh} \left[A_{kn} \lambda_{m,n} + A_{kn}^{(1)} \lambda_{m,n-1} + A_{kn}^{(2)} \delta_{m,n-2} \right] - e^{2} \left[B_{kn} \lambda_{m,n-1} + B_{kn}^{(1)} \lambda_{m,n-2} + B_{kn}^{(2)} \lambda_{m,n-2} \right] \right]$$
(2.7)

В (2.7) Ω_m —частота собственных колебаний сферической оболочки в вакууме при отсутствии магиитного поля.

$$A_{kn} = \frac{1}{4\lambda_n - 3} \left\{ \frac{1}{n(2n+1)} [2n^a - 11n^a - 20n^4 - 7n^3 - 8n^2 - 8n + k^2(10n^4 + 31n^3 + n^3 - 30n + 12)] + \frac{4(1-s)}{\lambda_n - 1 - s} [2\lambda_n(\lambda_n - 1) - k^2(2\lambda_n - 3)] \right\}$$

$$A_{kn}^{(1)} = -\frac{(n+k)(n+k-1)}{2(4n^2 - 1)} \left[n^2 - 9n + 6 + \frac{8(1-s)(n^2 - 3n - 10)}{\lambda_n - 1 + s} \right]$$

$$A_{kn}^{(2)} = \frac{(n-k+1)(n-k+2)}{2(2n+1)(2n+3)} \left[n^2 + \frac{8(1-\nu)(n-k+6)}{2(2n+1)(2n+3)} \right]$$

$$B_{kn} = \frac{1}{4\lambda_n - 3} \left[4\lambda_n + (4\lambda_n - 15)k^2 - \frac{2\lambda_n(1+\nu)(\lambda_n - 1+k)}{\lambda_n - 1+\nu} \right]$$

$$B^{(1)} = \frac{2n(n-k)(n+k-1)}{4n^2 - 1} \left[1 - \frac{(1+\nu)(n-2)}{2(\lambda_n - 1+\nu)} \right]$$

$$E = -\frac{(n-k+1)(n-k+2)}{(2n+1)(2n+3)} \left[2n - 1 - \frac{(1+\nu)(n^2 + 4n + 3)}{\lambda_n - 1+\nu} \right]$$

$$(2.8)$$

Условнем существования нетривнального решения системы (2.6) является равенство нулю следующего бесконечного определителя

$$\left|\mathcal{L}_{mn} + C_{mn}\right| = 0 \tag{2.9}$$

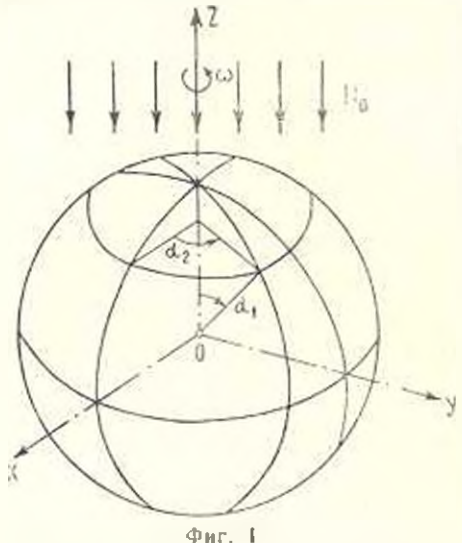
где $C_{mn} = -b \frac{(k)}{mn} / \Omega_m \Omega_n$.

В силу (2.7) и (2.8) легко заметить, что бесконечный определитель, входящий в уравнение (2.9), относится к классу сходящихся (нормальных) определителей.

Из уравнения (2.9) в первом приближении (n=n=i) для критического значения внешнего магнитного поля, при котором оболочка теряет статическую устойчивость, получим следующую формулу:

$$H_{0*} = \frac{1}{s} \left[\frac{1}{A_{R^{+}}} \left(\Omega + L_{-} \right) \right] \tag{2.10}$$

Из (2.10) следует, что увеличение скорости вращения приводит к увеличению критического значения папряженности внешнего магинтного поля. В табл. I для оболочки, наготовленной из алюминия (E



=7 10^{10} н/м; v=0,3; ρ =2.7· 10^3 кг/м³) и покрытой тонким сверхпроводяцим слоем сплава Nb_2S_n , когда 50 с⁻¹, R = 0,25 м, приведены минимальные значения H_{0*} по числам воли n и k при различных отношениях h/R.

Таблица

_				1 полица 1	
	2h R	k	n _	minH _{OA} (10° KA/M)	
	1,50 1:100 1:125 1:250 1:500	13 18 21 29 41	13 18 21 29 41	8.9946 6.3113 5.6365 3.9622 2.7924	

Отметим, что для выбранного сплава критическое значение внешнего магнитного поля, превышение которого приводит к разрушению сверхпроводящего свойства материала, $H_k \approx 1.6 \cdot 10^4 \, \mathrm{ KA/m}.$ 38

STABILITY OF A ROTATING SUPERCONDUCTIVE SPHERICAL SHELL IN A MAGNETIC FIELD

P. A. MKRTCHIAN

ՊՏՏՎՈՂ ԳԵՐՀԱՂՈՐԳ<mark>ԵՉ ԳՆ</mark>ԳԱՑԵՆ ԹԱՂԱՆԹԻ ԿԱՅՈՒՆՈՒԹՅՈՒՆԸ ՄԱԳՆԻՍԱԿԱՆ ԳԱՇՏՈՒՄ

ส. 2. เกษกรรรมนา

Ամփոփում

Աշխատանքում ստացված են պատվող դեր-աղորդիչ քաղանիի դրդոված վիճակի շարժման հավասարումները ստացիոնար անհամասեռ մազնիսական դաշտում։ Այդ հավասարումների հիման վրա հետազոտված է պտտվող քաղանի վարքը սկզբնական համասեռ մագնիսական դաշտում։ Ցույց է տրրված չդրդոված վիճակի կայունունյունը կորցնելու հնարավորունյունը և ստացված է րանաձև՝ մագնիսական դաշտի լարվածունյան կրիտիկական արժեքի որոշման համար, որի դեպքում քաղանիը կորցնում է կայունությունը։

ЛИТЕРАТУРА

- Асанян Д. Д., Багдасаряя Г. Е. Устойчивость вращающейся магнитомягкой авлаварической оболочки в однородном магнятном поле.—Проблемы динамики взаимодействия деформируемых сред. Тез. докл., Ереван: Изд-во АН Арм. ССР, 1984. с. 31—38.
- 2. Ландау Л. Д. и Лифшиц Е. М. Электродинамика сплошных сред. М.: Гостехиздат, 1957. 522 с.
- 3. Амбарцияян С. А., Багдасарян Г. Е., Белубекян М. В. Магнятоупругость тонких оболочек и пластип. М.: Наука, 1977. 272 с.
- 4. Багдасарян Г. Е., Мюртиям П. А. Устойчивость сверхпроводящей сферической оболочки в магнитном поле круговых токов.—Изв АН АрмССР. Механика, 1985, т. 38, № 5, с. 22—32.

Ереванский политехнический институт им. К. Маркса

Поступила в редакцию 20.1.1987